## ՀԱՅԿԱԿԱՆ ՍՍՀ ԳԻՏՈՒԹՅՈՒՆՆԵՐԻ ԱԿԱԴԵՄԻԱՅԻ ՏԵՂԵԿԱԳԻՐ **ИЗВЕСТИЯ АКАДЕМИИ НАУК АРМЯНСКОЯ ССР**

Տեխնիկական գիտութ, սեշիա

XXXV, № 6, 1982 Серия технических наук

НАУЧНЫЕ ЗАМЕТКИ

## В Е. ДЕНИСОВ, В. М. ДОРОФЕЕВ, О. К. ПОГОСЯН

## ОПРЕДЕЛЕНИЕ ДИНАМИЧЕСКИХ ХАРАКТЕРИСТИК СТРОИТЕЛЬНЫХ КОНСТРУКЦИЯ ПО ДАННЫМ ИНЖЕНЕРНО-СЕИСМОМЕТРИЧЕСКИХ СТАНЦИИ

Известно, что достаточно жесткие с небольшим количеством этажей эдания часто могут быть представлены динамическими моделями упругих одномассовых осцилляторов, уравнение движения которых имеет вид [1]:

$$y(t) + 2s\omega y(t) + y(t) = -x(t),$$
 (1)

где ш — частота осниллятора, а г — коэффициент затухания в долях от критического. Если имеются синфазные во времени записи, характеризующие динамическое поведение основания здания и его покрытия в виде одного из трех кинематических параметров (смещения, скорости, ускорения), то для любого произвольного момента времени должно быть справедливо равенство

$$y(t_t) + 2\varepsilon w y(t_t) + w^2 y(t_t) = -x(t_t). \tag{2}$$

Здесь у  $(t_i)$ , у  $(t_i)$ , у  $(t_i)$  — экспериментальные значения, соответственно, ускорения, скорости и смещения покрытия в момент времени  $t_1$  или вычисленные с помощью ЭВМ по одному из вих, полученному экспериментально:  $x(t_i)$  — значение ускорения основания в момент времени  $t_1$ .

Возьмем два произвольных момента времени  $t_1$  и  $t_2$ , для которых имеются соответствующие величины  $y(t_1) = y_1$ ,  $y(t_2) = y_2$ ,  $y(t_1) = y_1$ ,  $y(t_2) = y_2, y(t_1) = y_1, y(t_2) = y_2, x(t_1) = x_1, x(t_2) = x_1$ Для каждого из этих моментов времени можно записать равенства, аналогичные (2):

$$y_1 + 2\varepsilon \omega y_1 + \omega^2 y_1 = -x_1;$$
  $y + 2\varepsilon \omega_1 y_2 + \omega^2 y_2 = -x^2.$  (3)

Если рассматринать их как уравнения относительно неизвестных r=2вы и  $q=v^3$ , то совместное их решение позволяет определить динамические параметры и в. Решение системы (3) имеет вид:

$$r = \frac{y_1(x_2 + y_2) - y_2(x_1 + y_1)}{y_1y_2 - y_2y_1} : \frac{y_2(x_1 + y_1) - y_1(x_2 - y_2)}{y_1y_2 - y_2y_1}$$

$$P_1 = y_1(x_2 + y_2) - y_2(x_1 + y_1), \quad P_2 = y_2(x_2 + y_1) - y_1(x_2 + y_2),$$
  
 $P_3 = y_1y_2 - y_2y_1,$ 

для динамических параметров системы получаем;

$$2\epsilon\omega = \frac{P_1}{P_2}; \qquad \omega^2 = \frac{P_2}{P_3}. \tag{4}$$

Учитывая, что экспериментальные величниы, которые используются для определения w и  $\varepsilon$ , обладают определениым разбросом, т. е. имеем  $y = \delta y$ ,  $y \pm \delta y$ ,  $y \pm \delta y$ ,  $x \pm \delta x$ , выражение (4) принимает вид:

$$\min \frac{P_2}{P_3} \leqslant 2\varepsilon \omega \leqslant \max \frac{P_1}{P_3}; \qquad \min \frac{P_2}{P_3} \leqslant \omega^2 \leqslant \min \frac{P_2}{P_3}$$

нли

$$\sqrt{\frac{\min \frac{P_2}{P_3}}{P_3}} \leqslant \omega \leqslant \sqrt{\frac{\max \frac{P_2}{P_3}}{P_3}},$$

$$\frac{\min \frac{P_1}{P_3}}{2\sqrt{\frac{\max \frac{P_2}{P_3}}{P_3}}} \leqslant \varepsilon \leqslant \frac{\max \frac{P_1}{P_3}}{2\sqrt{\frac{\min \frac{P_2}{P_3}}{P_3}}}.$$

В соответствии с приведенными выражениями были просчитаны интервалы для собственных периодов сооружений и коэффициентов затухания. На рис. 1 представлены гистограммы для собственных периодов системы и коэффициентов затухания для регистрации станций ИСС г. Еревана землетрясения 25.02.1978 г. Здание, на котором установлена станция ИСС, представляет собой шестиэтажное каменное жилое здание, имеющее три продольные песущие стены.

Построение гистограмм производилось для двух случаев ошибок определения и вычисления величин ускорений, скоростей и смещений. Как видно из рисунков, разрешающая способность в определении динамических коэффициентов слабо зависит от ошибок в рассматринаемом диапазоне.

Выбор конкретного значения периода собственных колебаний и отождествление его с периодом колебания сооружения в общем случае неоднозначный. Можно выбирать период собственных колебаний, соответствующий максимальной вероятности для моментов премени, относящихся к наиболее интенсивному движению, в этом случае гакой период будет хорошо описывать работу сооружения при интенсивных воздействиях.

Выбор значений периодов собственных колебаний сооружения осуществляется из гистограмм, подобных изображенным на рис. 1, и для

таким образом величин строятся соответствующие им гистограммы величин в с использованием формул перехода

$$T_0 \frac{E^{\text{MAH}}}{T^{\text{MHH}}} \leqslant \varepsilon \leqslant T_0 \frac{E^{\text{MAX}}}{T^{\text{MAX}}}$$

где  $T_0$  — пернод собственных колебаний осциллятора, определенный из описанных выше гистограмм;  $E^{\rm Max}$  и  $T^{\rm Mull}$ ,  $T^{\rm Max}$  — пределы для в и T, полученные в начальном периоде вычислений.

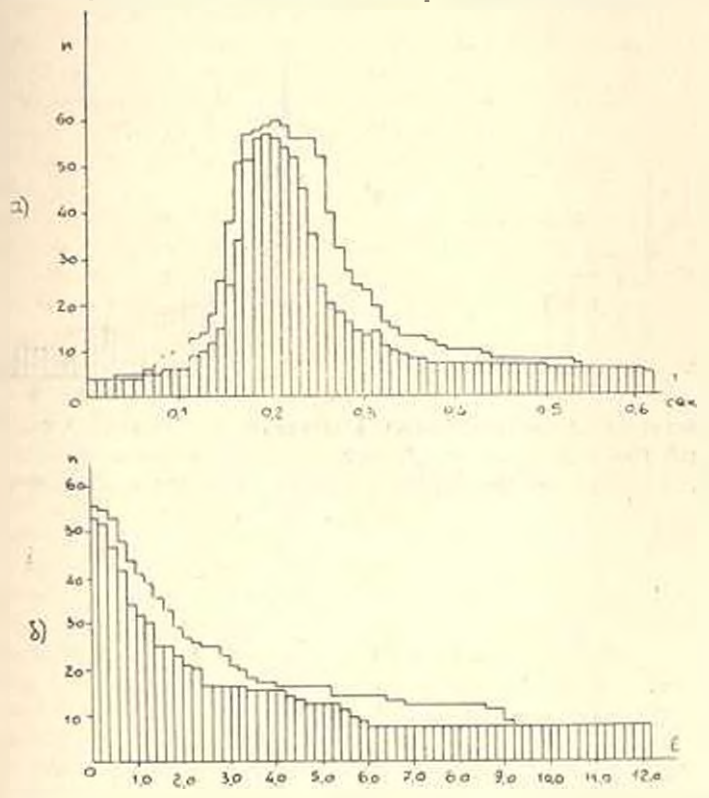


Рис. 1. Гистограммы для собственного периода системы (а) и коэффициента затухания (б). Нижине гистограммы соответствуют погрешностям в определении ускорений, скоростей и смещений, соответственно, равным 15%, 10%, 5%, а верхиие — 10%, 7% и 5%.

Результат описанной процедуры изображен на рис. 2. Расчет пронзводился по гистограмме рис. 1 для  $T_a=0.2\ c$  и ошибок определения ускорения. скорости и смещения, равных 10%, 7% и 5%.

Построение гистограмм осуществлялось для различных совокупностей моментов времени, охватывающих весь период записи, которые выбирались в зависимости от уровия сейсмического воздействия. Акселерограмма исходного воздействия подразделялась на интерпалы по уровню воздействия и для построения гистограмм образовывались совокупности моментов времени, в которых воздействия были заключены внутри выбранных интервалов интенсивности. На рис. З представлены

трафики зависимости периода собственных колебаний и коэффициента затухания от интенсивности сейсмического воздействия в основании сооружения станции ИСС во время землетрясения 25. 02. 1978 г. Как видно из рассмотрения графиков, эффективный период собственных колебаний здания монотонно возрастает даже при сравнительно слабых сейсмических воздействиях, причем возрастание периода значительно при изменениях интенсивности воздействия слабого уровня (20—40 мм/с²) и ослабеняет при повышении уровия интенсивности (60—80 мм/с²)

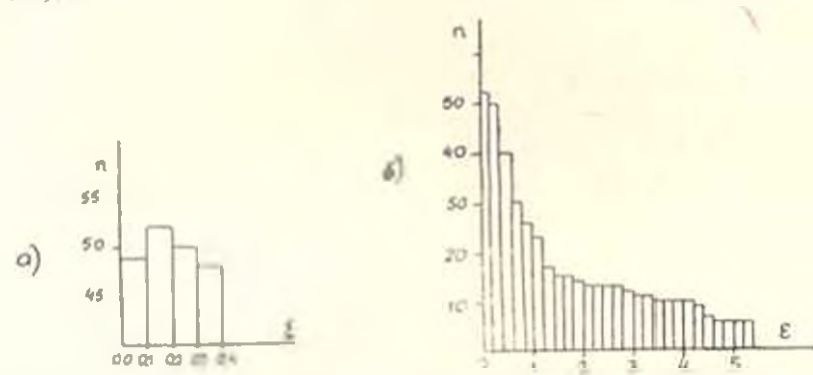


Рис 2. Гистограммы для коэффициента затухания в полученные для периода собственных колеблий системы  $T_0 = 2 \, \epsilon$  для интервала гначений в от 0 до 0,4 d) в интервалом 0,2 для иссего диапатона изменений в

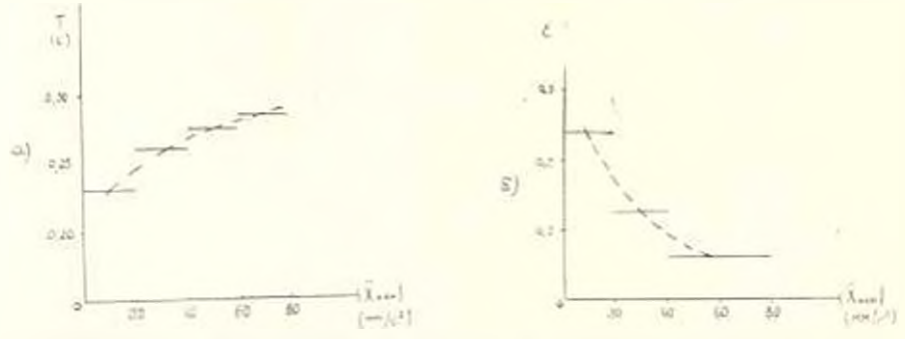


Рис. 3. Графики панисимостен эффективного периода колеблина 7 (a) и ее коэффициента затухания - (б) от интенсивности сейсмического воздействии.

Авалогичные рассуждения справедливы и для эффективного коэффициента затухания, выраженного в долях от критического, с той лишь разлицей, что зависимость : (ж. ) носит характер монотонного убывачия, в изменение самой величины - более значительно. Экстраноляция попедения графиков рис. З позволяет сделать предположение о том, что приведенные зависимости имеют, по видимому, экспоненциальный характер.

АрмНИНСА

17, VII 1982

## ЛИТЕРАТУРА

I Поляков С. В Сейсмостойкие конструкции зданий М. Высшия школа, 1969 — 333 с.